

JÁDROVÉ ODHADY

IMPLEMENTACE, ILUSTRATIVNÍ PŘÍKLADY, APLIKACE

VÍTĚZSLAV VESELÝ

Katedra aplikované matematiky PřF MU Brno

1. ÚVOD - SYSTÉM MATLAB

Příspěvek je věnován počítačové implementaci jádrových odhadů regresní funkce a navazuje na teoretický výklad J. Michálka publikovaný rovněž v tomto sborníku [1].

Pro implementaci metody jádrového vyhlazování byl zvolen systém MATLAB americké firmy MathWorks, Inc. [2]. Důvodů pro tuto volbu je možno vyjmenovat několik. Především je to však vysoká efektivita programátorské práce umožňující v krátké době odladit i poměrně logicky velmi složité algoritmy. Tato vlastnost MATLABu je dána v zásadě čtyřmi faktory:

- a) Základním a vlastně jediným datovým typem jsou vektory a matice nad oborem komplexních čísel. Dokonce i textové řetězce jsou chápány jako vektory ASCII kódů odpovídajících znaků. Pro práci s maticemi lze používat operátory běžné v maticové algebře, což velmi usnadňuje a zpřehledňuje zápis i těch nejkomplicovanějších algoritmů.
- b) Funkční procedury v MATLABu jsou vytvářeny jednoduchým způsobem jako běžné ASCII soubory (tzv. M-soubory), které není třeba kompilovat, neboť jazyk MATLABu je v zásadě interpretační. To výrazně urychluje celý proces ladění, neboť opakovaný cyklus opravy a běhu je bezprostřední. Přitom při maximálním využití vektorově-maticového aparátu lze většinou nevýhodu obecně nižší rychlosti spojené s interpretováním jednotlivých příkazů za běhu programu do značné míry potlačit, neboť maticové operace jsou realizovány interními kompilovanými procedurami. Tato možnost se nabízí i uživateli, který může výpočetně náročné části svého algoritmu realizovat v hostitelském programovacím jazyku ("C", FORTRAN) ve formě dynamicky připojovaných procedur, tzv. MEX-souborů, a tak finální verzi dostatečně optimalizovat i co se týče rychlosti.
- c) Rozsáhlá nabídka hotových funkcí, které pokrývají nejen základní potřeby aplikované a numerické matematiky, ale i řadu speciálních oblastí jako je grafika (i prostorová), zpracování signálů, optimalizace, splajny, statistika, identifikace systémů, řízení a regulace procesů aj. Tyto specializované balíky funkcí (tzv. toolboxy) jsou zpravidla vytvářeny vedoucími specialisty v daném oboru. Aktivitě tohoto druhu jsou široce rozšířeny především v oblasti zpracování dat a umožňují efektivní spolupráci a výměnu programů i s jinými spolupracujícími pracovišti.
- d) Systém MATLAB je k dispozici na nejrůznějších počítačových platformách, a to zejména na IBM PC (AT 286, 386, 486) pod operačním systémem MS DOS i WINDOWS a na UNIXových systémech pod X-WINDOWS. Vzhledem k ASCII formátu M-souborů lze vytvořené programy snadno přenášet mezi jednotlivými platformami.

2. IMPLEMENTACE JÁDROVÝCH ODHADŮ

Soubor procedur (M-souborů) pro jádrové vyhlazování je koncepčně navržen jako otevřený modulární systém, který umožňuje řešit v zásadě úlohy dvojího typu.

(1) Nalézt výsledný průběh obecně k -té derivace ($k=0,1,\dots$) veličiny Y zatížené náhodnými vlivy v závislosti na veličině X , jejíž hodnoty jsou buď pevně předepsány (model s pevným plánem) a nebo jsou rovněž náhodného charakteru (model s náhodným plánem).

(2) Nalézt odhad hustoty pravděpodobnostního rozložení náhodné veličiny X . V tomto případě může být odhad hustoty hledán buď v kombinaci s vyhlazováním a nebo jako samostatná úloha, pokud data Y nejsou dána.

Modularita a otevřenost je motivována snahou rozložit problém na logicky relativně nezávislé celky zajišťující budoucí rozvoj variability funkcí systému (např. volbu různých typů vah a tvarů jader, výběr strategií pro hledání počátečních i optimálních odhadů šířek okna a pro korekce okrajových efektů).

V dalším bude popsána struktura a logika fungování jednotlivých komponent systému odpovídající danému stavu vývoje. Ten v současnosti umožňuje zpracovávat pouze 1-dimenzionální nekorelovaná data s homogenním rozptylem v ose Y , nemá implementovány odhady derivací ($k=0$), používá pouze jeden typ vah $[1,(5)]$, poskytuje omezený výběr několika základních tvarů jader různé hladkosti (např. gaussovské, exponenciální, kvartické, obdélníkové aj.) a nabízí jen po jedné metodě pro optimalizaci šířky okna a korekci okrajových efektů.

V budoucnu se kromě rozšíření variability systému ve výše uvedených směrech počítá mimo jiné s

- optimalizací algoritmů z hlediska výpočetní rychlosti, založené především na využití rychlé Fourierovy transformace,
- implementací technik proměnné šířky okna, kdy lze vypustit předpoklad na homogenitu rozptylu dat Y a nekorelovanost dat,
- přechodem do více dimenzí.

Procedury systému (M -soubory) lze podle jejich účelu rozčlenit do čtyř skupin.

A. Výpočetní procedury tvaru jádra, resp. jeho derivace.

Pro zajištění dostatečné kompatibility a současně univerzálnosti použití mají tyto procedury předepsán následující standardizovaný formát vstupních a výstupních parametrů:

$[k, k_p, k_i] = k_name(k_o, x)$,

kde

k_name udává jméno procedury pro výpočet jádra uvozené předponou k (k =kernel).

Předpokládá se rovněž vhodně normalizovaná šířka jádra - např. nosič $[-1,1]$ pro jádra s kompaktním nosičem.

Vstupní parametry:

- k_o ... vektor řídicích parametrů (options) pro výpočet jádra (např. řád derivace apod.); je-li zadán neúplně, musí procedura zajistit dosazení vhodných implicitních hodnot,
- x ... vektor hodnot nezávisle proměnné, v nichž požadujeme spočíst průběh tvaru jádra se zadanými parametry k_o .

Výstupní parametry:

Mají různý význam podle toho, zda byl nebo nebyl zadán vektor x .

a) x nebyl zadán nebo $x=[]$ (prázdná matice)

V tomto případě proběhne fáze tzv. identifikace typu jádra - předchází zpravidla jako 1. krok před vlastním výpočtem.

k ... řetězec udávající jméno jádra, které musí být použito ve fázi výpočtu,

k_p ... vektor skutečných parametrů, kterých musí být použito ve fázi výpočtu,

k_i ... textová matice identifikující jádro a význam jeho parametrů:

1. řádek k_i udává stručnou charakteristiku jádra použitelnou např. jako popis do grafu. Zbývající řádky k_i podrobně popisují jádro a význam jeho parametrů, což je možno využít např. při interaktivním vkládání parametrů, kdy k_name je procedura zajišťující pouze volbu skutečného (elementárního) jádra k a jeho parametrů k_p . Jestliže k_name reprezentuje elementární jádro, pak na rozdíl od předchozí situace je zpravidla $k=k_name$ a $k_p=k_o$.

b) x byl zadán

V tomto případě proběhne fáze vlastního výpočtu tvaru jádra.

k ... vektor hodnot jádra spočtených v hodnotách sítě x ,

k_p, k_i jsou bezvýznamné parametry.

B. Výpočetní procedury pro počáteční odhad šířky okna.

Počítají asymptoticky optimální (pro velké n) hodnotu počátečního odhadu šířky okna $h = h(n)$, kde n udává délku vektoru dat X a Y .

Předpokládá se opět tento standardizovaný formát vstupních a výstupních parametrů:

$$[h, h_p, h_i] = h_name(h_o, n),$$

kde

h_name udává jméno procedury pro výpočet odhadu šířky okna uvozené předponou $h_$.

Vstupní a výstupní parametry mají analogický význam jako v předchozím případě.

C. Hlavní výkonná procedura.

$$[m, f, h_n, RSS, R, sig2] = k_smooth(x, X, Y, K, k_o, h, h_o, options, k_tit)$$

Vstupní parametry:

- x ... vektor hodnot (sítě) nezávisle proměnné, v nichž je požadován výpočet vyhlazeného průběhu m , resp. odhadu hustoty pravděpodobnosti f pro X ;
- X ... vektor zadaných, resp. pozorovaných hodnot nezávisle proměnné X ;
- Y ... vektor pozorovaných hodnot závisle proměnné Y , je-li Y prázdný ($Y = []$), spočte se pouze odhad hustoty pravděpodobnosti f ;
- K ... textový řetězec udávající jméno (k_name) procedury, jež má být použita pro výpočet tvaru jádra (viz A);
- k_o ... vektor řídicích parametrů pro K ;
- h ... textový řetězec udávající jméno (h_name) procedury, jež má být použita pro výpočet počátečního odhadu šířky okna (viz B), tento řetězec může být i prázdný - viz popis h_o ;
- h_o ... vektor řídicích parametrů pro h , resp. přímo dosazovaná šířka okna, pokud $h = []$;
- $options$...
vektor řídicích parametrů procedury k_smooth , pokud je zadán neúplně, platí vhodné implicitní hodnoty;
 - $options(1) = 0$... model s pevným plánem (implicitní),
 - $= 1$... model s náhodným plánem,
 - $options(2) = 1$... typ váhy (1, 2, ...), implicitně 1
 - $options(3) =$ typ kritéria optimality (strategie) použité šířky okna h_n , (viz výstupní parametr R) implicitně 1;
 - $options(4) =$ řídicí parametr optimalizace šířky okna
 - $= 0$... neoptimalizovat (implicitní),
 - < 0 ... optimalizovat bez kontrolního výpisu průběhu optimalizace,
 - > 0 ... optimalizovat s kontrolním výpisem průběhu optimalizace, $abs(options(4)) =$ mezní hodnota změny účelové funkce, po jejímž dosažení má být aproximační proces ukončen (menší hodnota znamená větší přesnost - viz standardní proceduru MATLABu $fmins$,
- k_tit ... nepovinný textový řetězec identifikující zpracovávanou úlohu a sloužící současně k řízení grafického výstupu. Jestliže tento parametr vynecháme, bude grafický výstup úplně potlačen.
 syntaxe k_tit : 'titulek>kreslicí zařízení?'
 $titulek$... titulní text, který se objeví v záhlaví grafu, jeho úvodní jeden až dva znaky mohou nepovinně udávat typ čáry pro vykreslení grafu vyhlazeného průběhu dle konvence příkazu $plot$ MATLABu.

>kreslicí zařízení? ...

- specifikuje kreslicí zařízení pro výstup grafu. Jestliže je tato část celá vynechána, bude graf vykreslen pouze na obrazovce,
- kreslicí zařízení ::= prn nebo PRN ... výstup na tiskárnu
 ::= jméno tiskového meta souboru MATLABu
 (implicitně meta soubor se jménem vytvořeným z úvodních znaků titulního textu),
- ? ... nepovinný znak; pokud je uveden, pak skutečné provedení výstupu bude vázáno na souhlas obsluhy až za běhu procedury.

Pro snadnější sestavení tohoto řetězce lze použít pomocnou proceduru $kplot$ (viz D).

Výstupní parametry:

- m* ... vyhlazená veličina *Y* v hodnotách sítě *x*, *m* je prázdný vektor, pokud *Y* byl prázdný;
f ... odhad hustoty *X* v hodnotách sítě *x*; pro náhodný plán je na grafu příslušný jádrový odhad pro porovnání doplněn histogramem z *X*;
h_n ... skutečná šířka okna použitá při výpočtu *m* a *f*, tj. buď přímo dosazená jako vstupní parametr (při $h = []$) nebo její asymptotický odhad spočtený pomocí *h*, resp. její optimalizovaná hodnota, pokud $options(4) \neq 0$;
RSS ... reziduální součet čtverců (Residual Sum of Squares), viz [1];
R ... hodnota kritéria optimality (standardně [1,(K1)]) pro použitou šířku okna *h_n*. Typ použitého kritéria je určen parametrem $options(3)$ a používá se jako účelová funkce při optimalizaci šířky - viz pomocnou proceduru *h_criter* v části D;
sig2 ... vektor odhadu rozptylu dat $D(Y \rightarrow X)$ ve směru osy *Y* několika metodami (v současnosti dva odhady - viz [1]).

D. Pomocné procedury.(1) $options = koptions(parain)$

Procedura vrací úplný vektor řídicích parametrů pro *k_smooth*. Hodnota *parain(k)* předepisuje hodnotu *k*-tého řídicího parametru, ostatní parametry nabudou svých implicitních hodnot.

(2) $k_tit = kplot(titulek, kreslici_zařizeni, znak_otazniku)$

Generuje řetězec *k_tit* pro *k_smooth* z jeho dílčích komponent.

(3) $r = h_criter(h, X, Y, K, k_o, options, k_tit)$

Vyhodnocuje hodnotu účelové funkce pro hledání optimální šířky *h_n* okna pomocí standardní optimalizační procedury *fmins* MATLABu [2].

$r = abs(R)$, kde *R* je výstupní parametr získaný z

$[m, f, h_n, RSS, R] = k_smooth(X, X, Y, K, k_o, [], h, options, k_tit)$

s volbou $options(4)=0$.

Procedura *h_criter* je nepřímo volána prostřednictvím *fmins* v proceduře *k_smooth* v případě, že je požadována optimalizace ($options(4) \neq 0$). Procedura *k_smooth* tak nepřímo rekurzivně vyvolává sama sebe tolikrát, kolikrát to vyžaduje *fmins* během jednotlivých optimalizačních kroků. Aby nedošlo k nekonečnému hníždění rekurze, musíme pro *fmins* nastavit $options(4)=0$, ostatní řídicí parametry a *X, Y, K, k_o* odpovídají vstupním hodnotám z prvního volání *k_smooth*. *h* je hodnota šířky okna dosazovaná automaticky procedurou *fmins*. Při spuštění *fmins* zadáme její počáteční odhad, po skončení optimalizace *fmins* vrací nalezenou optimální hodnotu.

3. ILUSTRATIVNÍ PŘÍKLADY

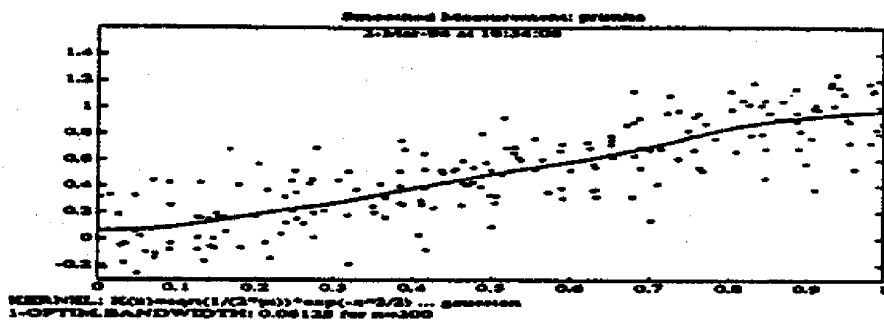
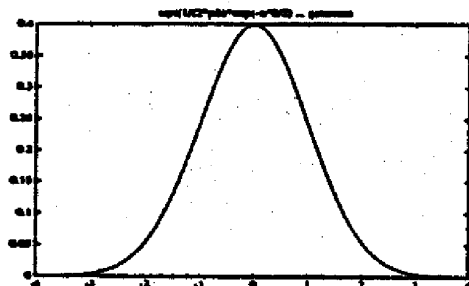
V tomto odstavci je metoda jádrového vyhlazování demonstrována na několika příkladech simulovaných i reálných dat. Pro každý typ příkladu je vždy uvedeno příslušné volání procedury *k_smooth*.

Grafický výstup zpracování jednotlivých příkladů je znázorněn na obrázcích. V záhlaví je vždy titulek určený parametrem *k_tit* při volání *k_smooth*. Ve spodní části je text identifikující použité jádro (*KERNEL*) a skutečná hodnota *h_n* šířky okna (*BANDWIDTH*). Text za $K(x)=$, resp. za $h(n)=$ odpovídá řetězci vrácenému v 1. řádce *k_i*, resp. *h_i* použité procedury *K*, resp. *h*. Použití optimalizace je indikováno např. textem *1-OPTIM.BANDWIDTH*, kde 1 značí typ použitého kritéria *R* (viz parametr $options(3)$).

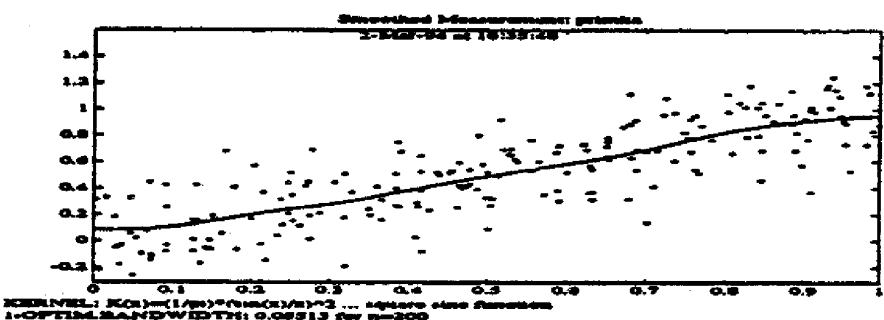
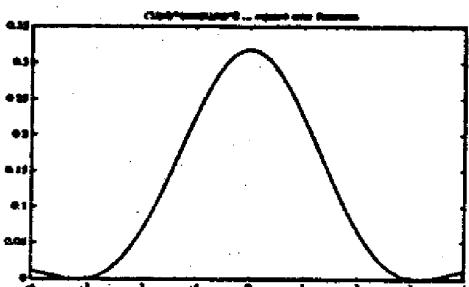
A. Simulovaná data.**(A1) Demonstrace vlivu hladkosti jádra (obr.1)****Popis simulace:**

- Přímka $Y = X + \epsilon$ na intervalu $[0,1]$ se simulovaným gaussovským šumem $\epsilon \sim N(0, 0.04)$.
- Model s náhodným plánem, kde nezávisle proměnná *X* má simulované rovnoměrné rozložení na intervalu $[0,1]$.
- Vyhazení s použitím sedmi jader o různé hladkosti při optimalizované šířce okna (obr.1a-g):

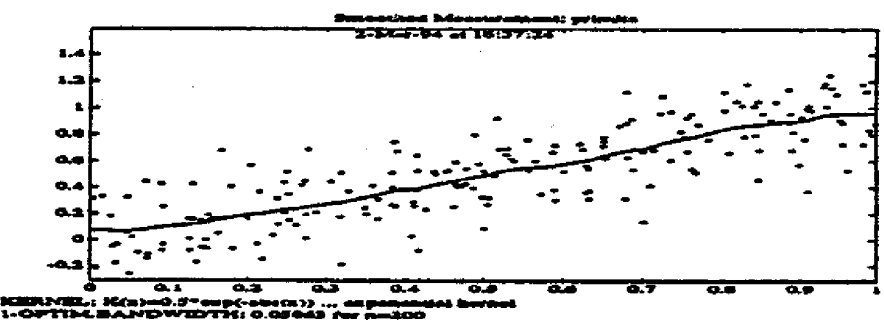
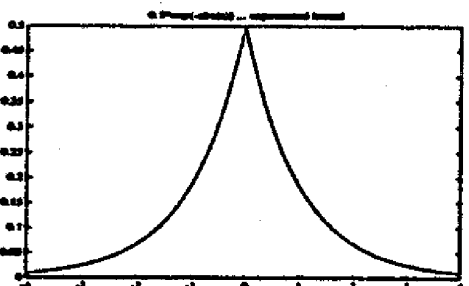
JÁDROVÉ ODHADY IMPLEMENTACE, ILUSTRATIVNÍ PŘÍKLADY, APLIKACE



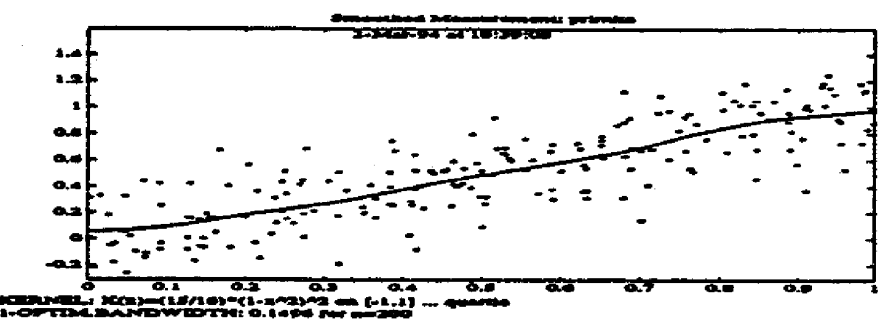
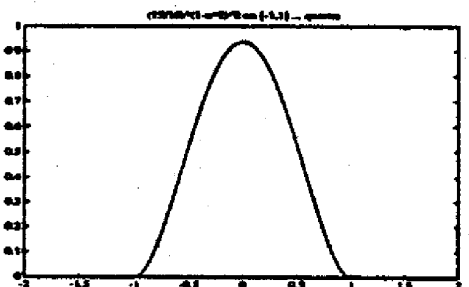
a) *gaussovské jádro*



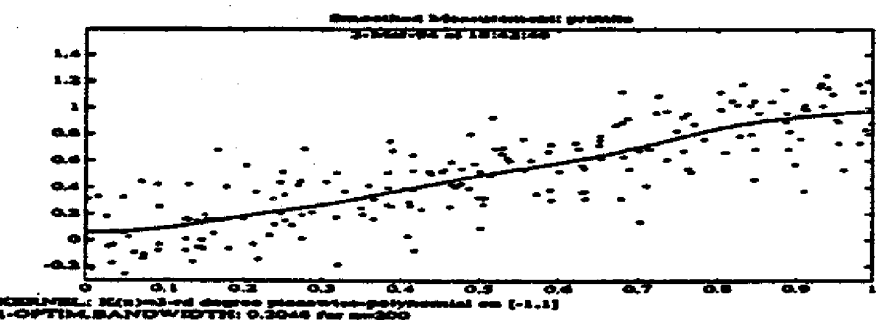
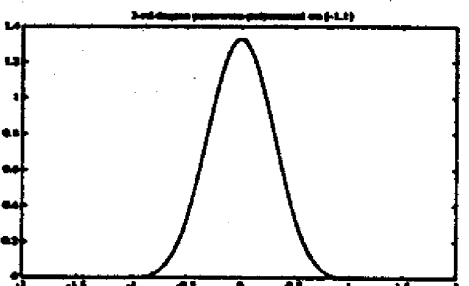
b) *jádro sinc*



c) *exponenciální jádro*



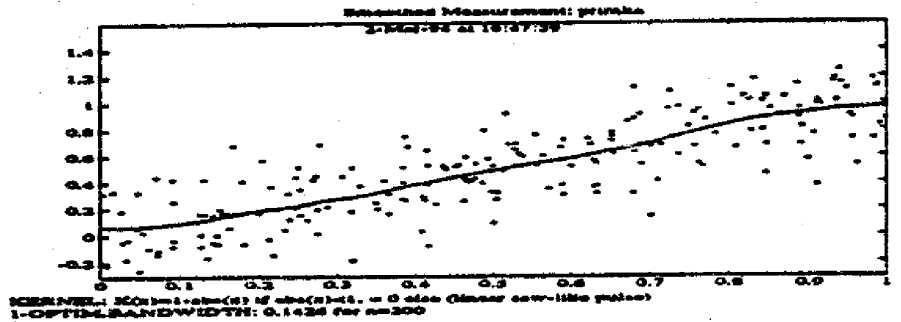
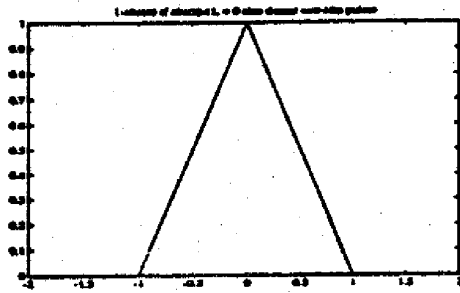
d) *kvartické jádro*



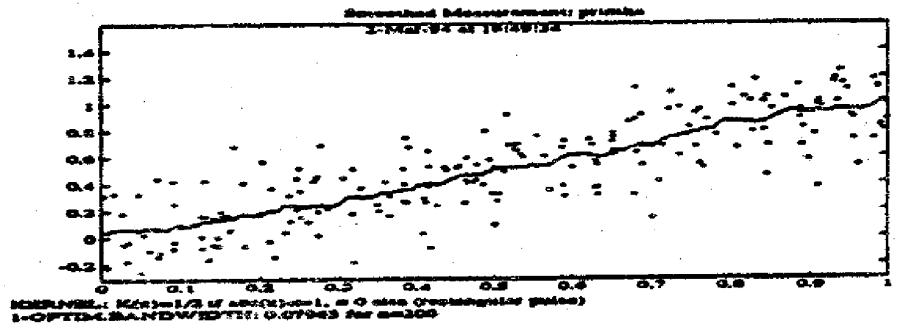
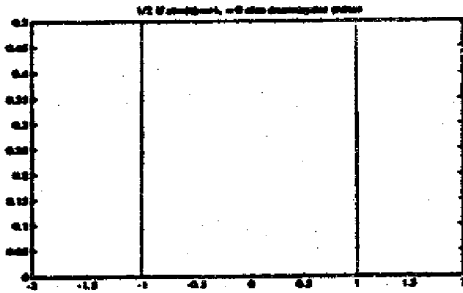
e) *po částech polynomiální jádro*

OBR. 1. Vliv hladkosti jádra na vyhlazení

VÍTEZSLAV VESELY

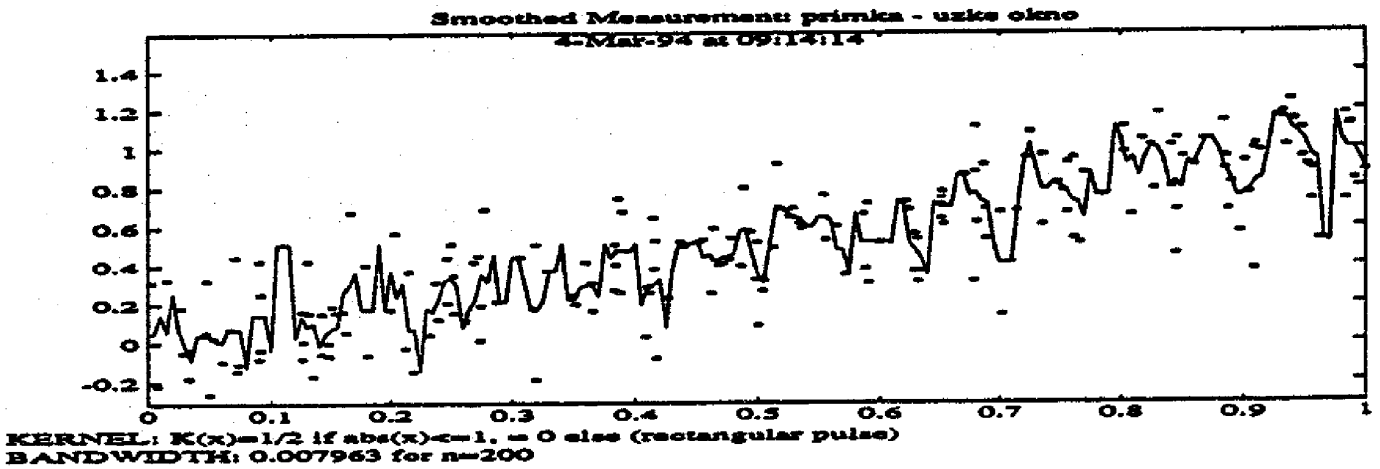


f) trojúhelníkové jádro

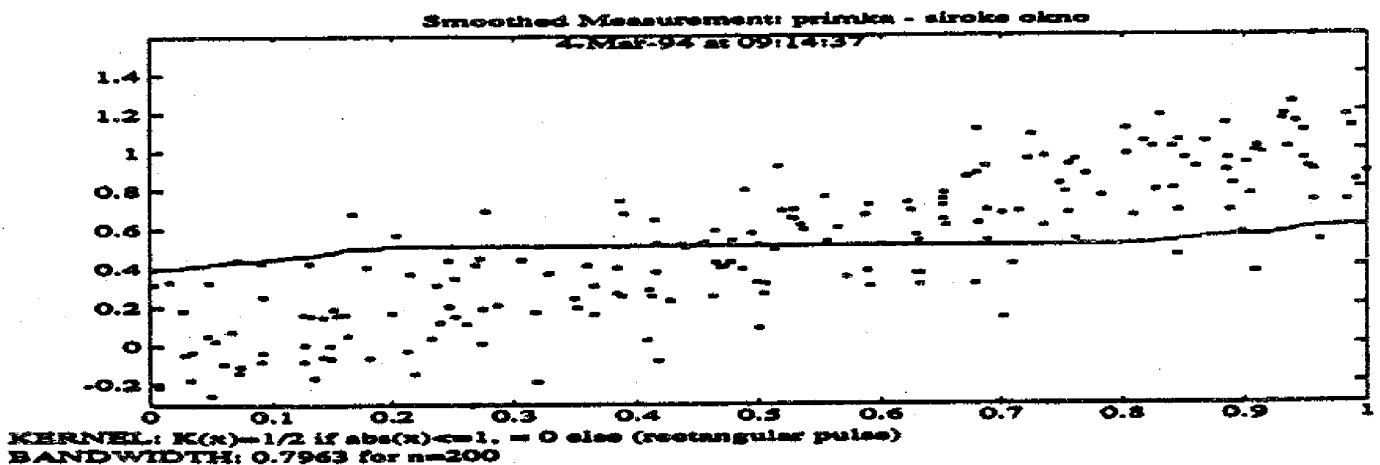


g) obdélníkové jádro

OBR. 1 (POKR.). Vliv hladkosti jádra na vyhlazení



a) malá šířka



b) velká šířka

OBR. 2. Vliv šířky obdélníkového jádra na vyhlazení

Parametry výpočtu:

`options = [1,1,1,0.001];`
`h_0 = 0.07;`
`[m,f,h_opt,RSS,R,sig2] = k_smooth(x,X,Y,kernel,[],[],h_0,options,'primka>obr.1');`

Hodnoty výstupních parametrů:

`sig2 = [0.0476,0.0490]`

... odhad rozptylu je ve všech sedmi případech stejný (závisí pouze na Y) a dobře koresponduje s teoretickou hodnotou 0.04.

- gaussovské jádro (`kernel='k_gauss'`): $\sqrt{1/(2\pi)} \exp(-x^2/2)$
`h_opt = 0.0613, RSS = 0.0445, R = 1.6930e-06.`
- kvadrát funkce sinc jako jádro (`kernel='k_sinc'`): $(1/\pi)(\sin(x)/x)^2$
`h_opt = 0.0551, RSS = 0.0448, R = -7.1607e-06.`
- exponenciální jádro (`kernel='k_exp'`): $0,5 \exp(-abs(x))$
`h_opt = 0.0586, RSS = 0.0435, R = -1.1093e-05.`
- kvartické jádro (`kernel='k_quart'`): $(15/16)(1-x^2)^2$ na intervalu $[-1, 1]$
`h_opt = 0.1496, RSS = 0.0446, R = -2.5034e-06.`
- po částech polynomiální jádro 3. stupně (`kernel='k_pol3'`):

$$\begin{array}{ll} 4/3 - 8x^2 + 8abs(x)^3 & \text{pro } abs(x) < 1/2 \\ (8/3)(1 - abs(x))^3 & \text{pro } 1/2 \leq abs(x) \leq 1 \\ 0 & \text{jinak} \end{array}$$
`h_opt = 0.2048, RSS = 0.0445, R = 2.0647e-06.`
- po částech lineární jádro - trojúhelníkový puls (`kernel='k_lin'`): $1 - abs(x)$ pro $abs(x) < 1$, 0 jinak
`h_opt = 0.1426, RSS = 0.0442, R = 3.6570e-06.`
- obdélníkové jádro (`kernel='k_rect'`): $1/2$ pro $abs(x) < 1$, 0 jinak
`h_opt = 0.0796, RSS = 0.0445, R = -4.5599e-05.`

(A2) Demonstrace vlivu šířky okna (obr.2)

Popis simulace:

- Simulovaná data i model jsou stejné jako v případě (A1).
- Vyhlazení s použitím obdélníkového jádra se šířkou výrazně odlišnou od optimální hodnoty $h_{opt} = 0.0796$ ad (A1g).

Parametry výpočtu: `options = [1,1,1];`

Hodnoty výstupních parametrů:

- malá šířka ($h=h_{opt}/10=0.0080$):
`[m,f,h,RSS,R] = k_smooth(x,X,Y,'k_rect',[],[],h,options,'primka - uzke okno>obr.2a');`
`RSS = 0.0334, R = 0.0157.`
- velká šířka ($h=h_{opt}*10=0.7969$):
`[m,f,h,RSS,R] = k_smooth(x,X,Y,'k_rect',[],[],h,options,'primka - siroke okno>obr.2b');`
`RSS = 0.1186, R = 0.0714.`

(A3) Detekce sinusového kmitu ze silného šumu (obr.3)

Popis simulace:

- Sinusovka $Y = \sin(2\pi X) + e$ se simulovaným gaussovským šumem $e \sim N(0,1)$.
- Model s náhodným plánem, kde nezávisle proměnná X má simulované normální rozložení $N(0,1)$.
- Vyhlazení a odhad hustoty X s použitím kvartického jádra při optimalizované šířce okna (obr.3a-b):

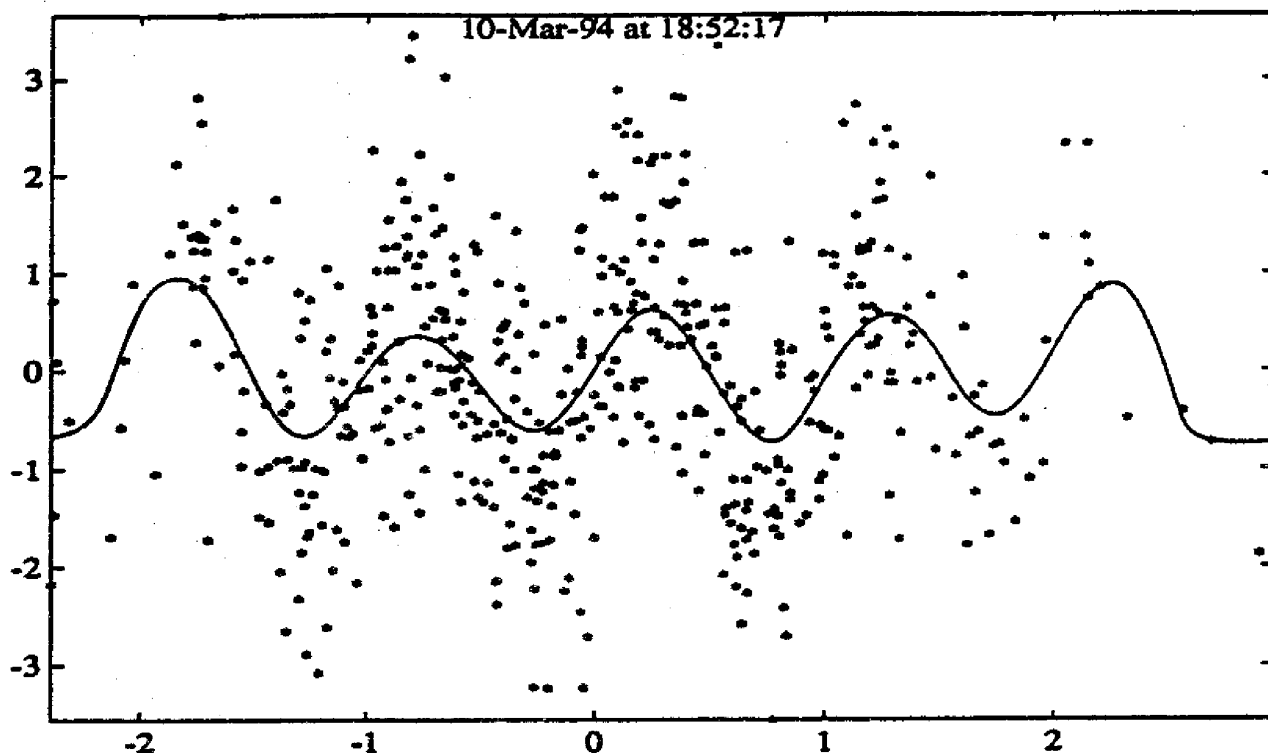
Parametry výpočtu:

`options = [1,1,1,0.01]`
`h_0 = 0.35`
`[m,f,h_opt,RSS,R,sig2] = k_smooth(x,X,Y,'k_quart',[],[],h_0,options,'sinus>obr.3')`

Hodnoty výstupních parametrů:

`h_opt = 0.4411, RSS = 1.1404, R = -8.2873e-05, sig2 = [1.1502,1.1613].`

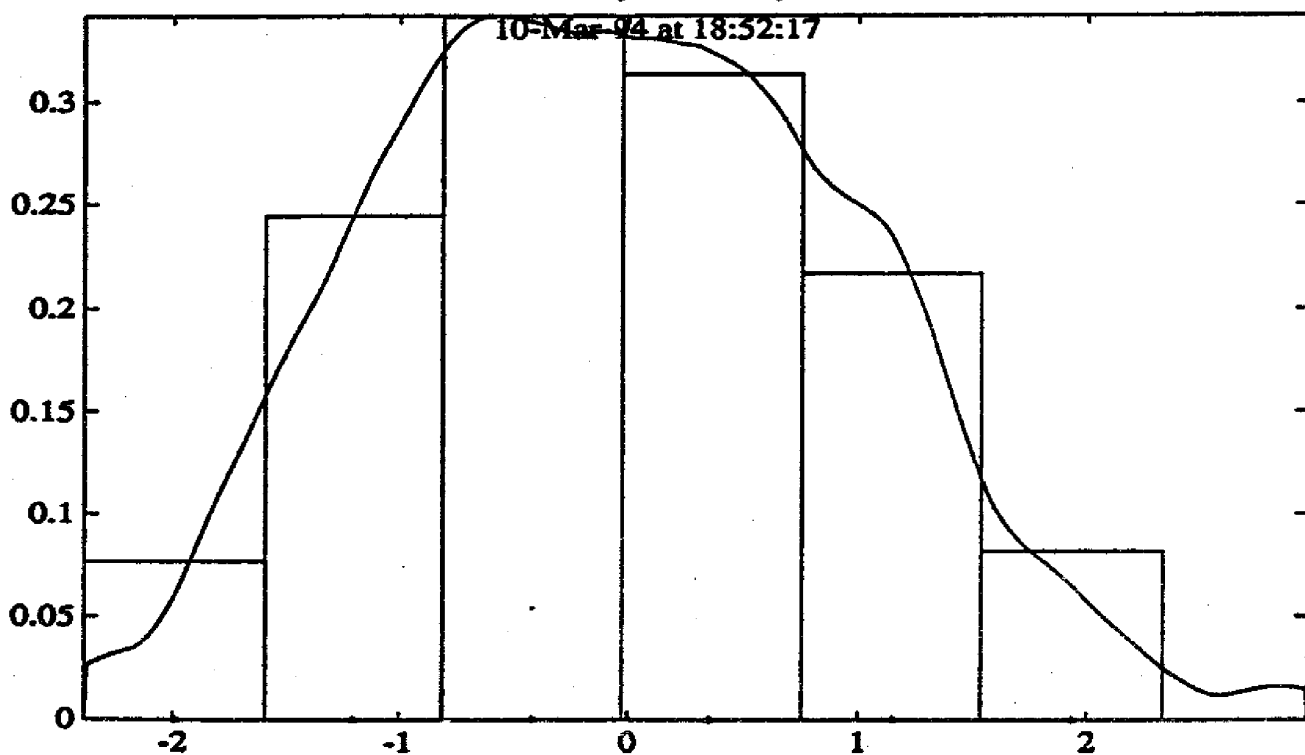
Smoothed Measurement: sinus



KERNEL: $K(x) = (15/16) * (1-x^2)^2$ on $[-1,1]$... quartic
 1-OPTIM.BANDWIDTH: 0.4411 for $n=500$

a) vyhlazená data

Probability X-Density of sinus



KERNEL: $K(x) = (15/16) * (1-x^2)^2$ on $[-1,1]$... quartic
 1-OPTIM.BANDWIDTH: 0.4411 for $n=500$

b) odhad hustoty v ose x

OBR. 3. Detekce sinusového kmitu ze silného šumu

B. Reálná data.

Data použitá v následujících příkladech pravděpodobně nespĺňují striktně předpoklady nekorelovanosti a homogenity rozptylu. Přesto získané výsledky dobře ilustrují možnosti metody jádrového vyhlazování.

(B1) Měření atmosférického tlaku (obr.4)

Popis zpracování dat:

- Data reprezentují denní hodnoty atmosférického tlaku měřeného v Brně Tuřanech v období od 23.5.1985 do 30.9.1985.
- Model s pevným plánem, kde nezávisle proměnná $X=den$.
- Vyhlazení se provádí s použitím kvartického jádra při optimalizované šířce okna.

Parametry výpočtu:

$options = [0,1,1,0.001]$

Hodnoty výstupních parametrů:

$[m,f,h_{opt},RSS,R,sig2] = k_smooth(den,den,tlak,'k_quart',[],'h_x',[],options,'atmosfericky tlak>obr.4');$
 $h_{opt} = 4.7299, RSS = 9.9252, R = -6.9518e-05, sig2 = [9.9554,7.7440].$

(B2) Sezónní měření atmosférických teplot za 90 let (obr.5)

Popis zpracování dat:

- Data reprezentují průměrné podzimní teploty vzduchu měřené v Hurbanově v letech 1903 až 1992.
- Model s pevným plánem, kde nezávisle proměnná $X=rok$.
- Vyhlazení se provádí s použitím kvartického jádra jednak s šířkou zvolenou subjektivně na základě experimentování a jednak s optimalizovanou šířkou.

Parametry výpočtu:

$options = [0,1,1,0.01]$

$h_0 = 4$

Hodnoty výstupních parametrů:

- a) Experimentálně odhadnutá šířka $h_0=4$ (obr.5a):

$[m,f,h,RSS,R,sig2] = \dots$

$k_smooth(rok,rok,teplota,'k_quart',[],[],h_0,[], 'podzimni teploty - odhad sirky okna>obr.5a');$
 $h = 4, RSS = 0.9603, R = -0.4729, sig2 = [1.4407,1.5383].$

- b) Následně optimalizovaná šířka (obr.5b):

$[m,f,h_{opt},RSS,R,sig2] = \dots$

$k_smooth(rok,rok,teplota,'k_quart',[],[],h_0,options, 'podzimni teploty - optimalni sirka okna>obr.5b');$
 $h_{opt} = 21.3625, RSS = 1.4393, R = -1.3568e-05, sig2 = [1.4407,1.5383].$

Tento záměrně vybraný příklad dobře ilustruje, jak lokální změna charakteru dat (v místě evidentní skokové změny) zvyšuje celkový vysokofrekvenční obsah datové řady, což vede při globální optimalizaci k falešné snaze o vyšší vyhlazení všech dat. Proto zřejmě h_{opt} vychází výrazně větší, než subjektivní odhad h_0 . Pro úlohy tohoto typu se proto nabízí jako výhodnější technika proměnné šířky okna.

(B3) Populační dynamika výskytu komárů (obr.6)

Popis zpracování dat:

- Data reprezentují denní četnosti výskytu dvou druhů komárů v Želešicích u Brna v období od 24.5 - 1.10.1985 ($f=$ samice).
- Model s pevným plánem, kde nezávisle proměnná $X=den$.
- Vyhlazení se provádí s použitím kvartického jádra při optimalizované šířce okna.

Parametry výpočtu:

$options = [0,1,1,0.001]$

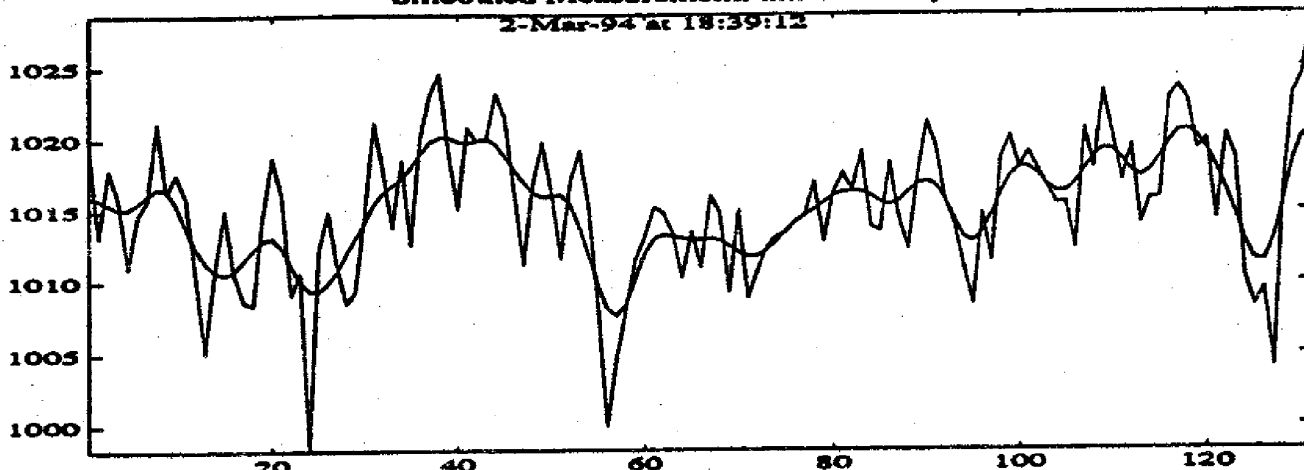
Hodnoty výstupních parametrů:

- a) Druh komárů $s21f$ (obr.6a):

$[m,f,h_{opt},RSS,R,sig2] = \dots$

$k_smooth(den,den,s21f,'k_quart',[],'h_x',[],options,'druh komaru = s21f>obr.6a');$
 $h_{opt} = 14.5109, RSS = 23.7864, R = 2.3107e-05, sig2 = [23.8101,23.0651].$

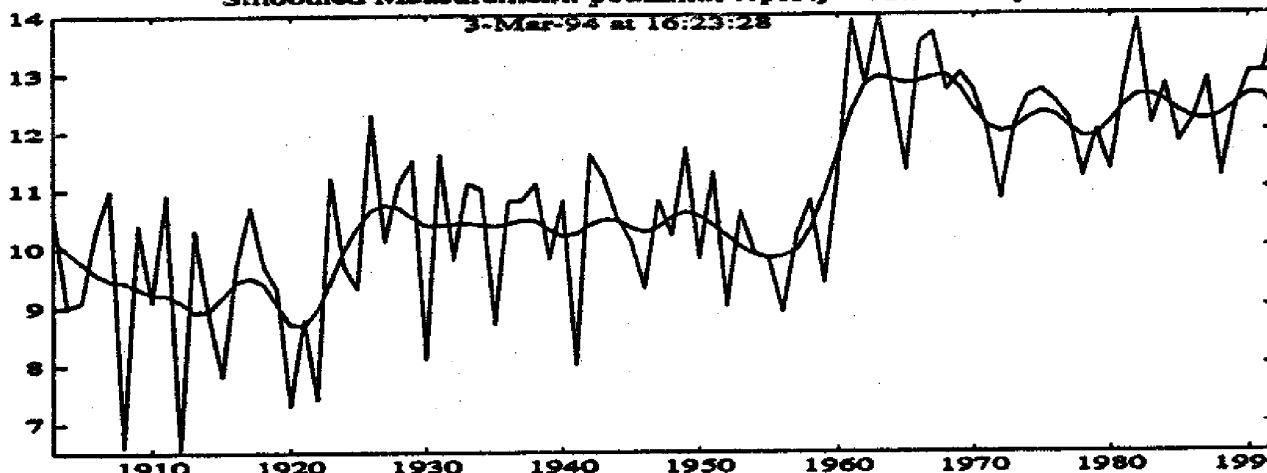
Smoothed Measurement: atmosférický tlak
2-Mar-94 at 18:39:12



KERNEL: $K(x) = (15/16) * (1-x^2)^2$ on $[-1,1]$... quartic
1-OPTIM.BANDWIDTH: 4.73 with $h(n) = 0.5 * n^{(-1/5)}$ for $n=131$

OBR. 4. Měření atmosférického tlaku v Brně Tuřanech

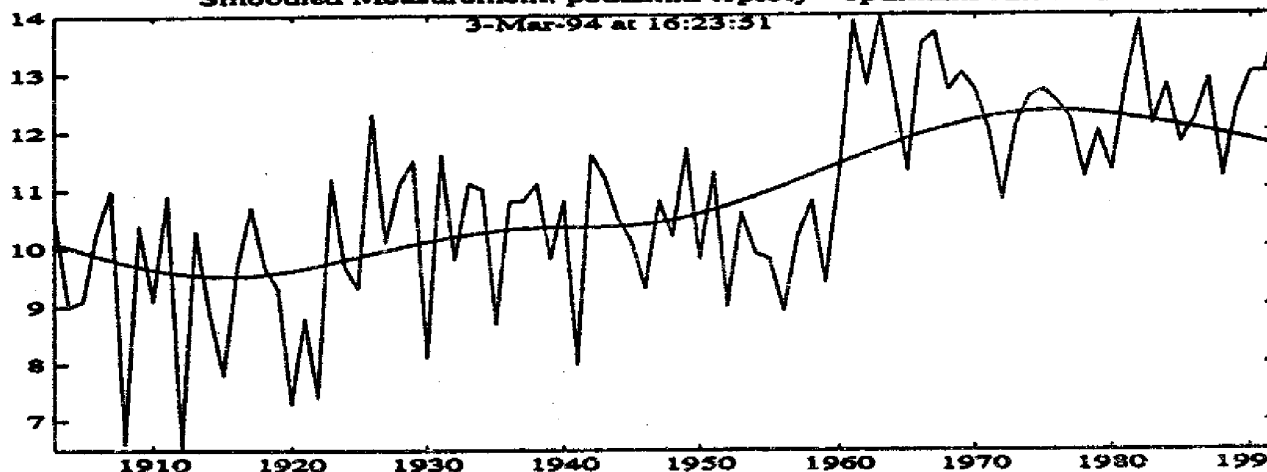
Smoothed Measurement: podzimní teploty - odhad šířky okna
3-Mar-94 at 16:23:28



KERNEL: $K(x) = (15/16) * (1-x^2)^2$ on $[-1,1]$... quartic
BANDWIDTH: 4 for $n=90$

a) experimentálně odhadnutá šířka okna

Smoothed Measurement: podzimní teploty - optimalní šířka okna
3-Mar-94 at 16:23:31

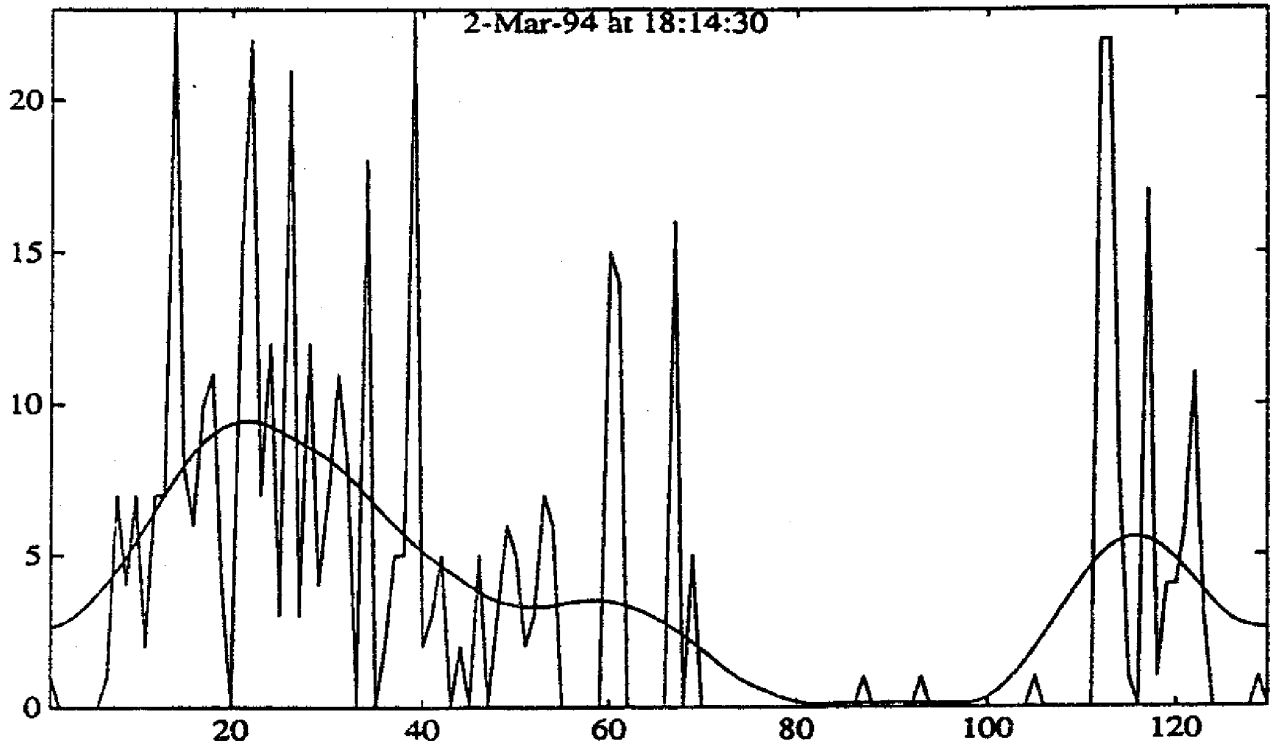


KERNEL: $K(x) = (15/16) * (1-x^2)^2$ on $[-1,1]$... quartic
1-OPTIM.BANDWIDTH: 21.36 for $n=90$

b) optimalizovaná šířka okna

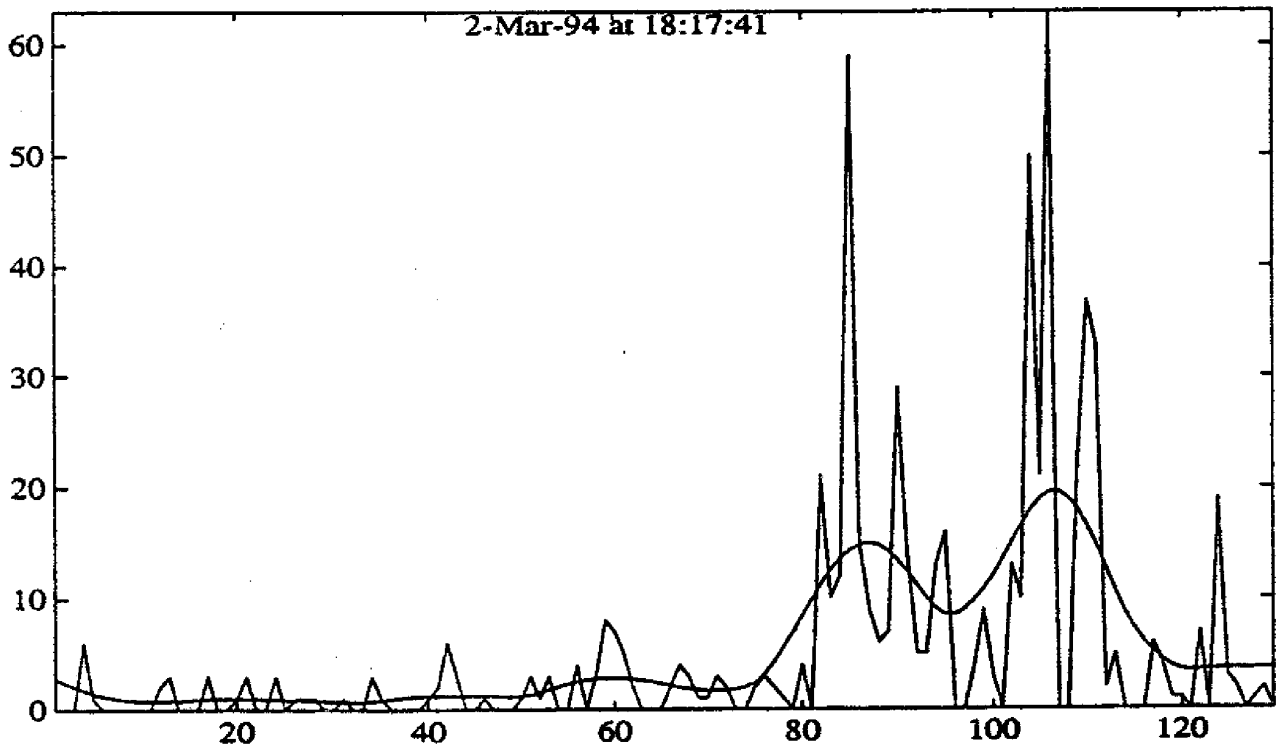
OBR. 5. Průměrné podzimní teploty v Hurbanově

Smoothed Measurement: druh komaru = s21f



KERNEL: $K(x) = (15/16) * (1-x^2)^2$ on $[-1,1]$... quartic
 1-OPTIM.BANDWIDTH: 14.51 with $h(n) = 0.5 * n^{-1/5}$ for $n=130$
 a) druh komárů s21f

Smoothed Measurement: druh komaru = s45f



KERNEL: $K(x) = (15/16) * (1-x^2)^2$ on $[-1,1]$... quartic
 1-OPTIM.BANDWIDTH: 10.57 with $h(n) = 0.5 * n^{-1/5}$ for $n=130$
 b) druh komárů s45f

OBR. 6. Populační dynamika výskytu komárů v Želešicích u Brna

b) Druh komárů *s45f* (obr.6b):

$[m, f, h_{opt}, RSS, R, sig2] = \dots$

$k_smooth(den, den, s45f, 'k_quart', [], 'h_x', [], options, 'druh komaru = s45f > obr.6b');$

$h_{opt} = 10.5694, RSS = 66.4211, R = 2.3903e-04, sig2 = [66.5116, 64.7995].$

LITERATURA

- [1] J. Michálek: *Jádrové odhady - základní vlastnosti a optimální výběr parametrů odhadu.* sborník ROBUST'94 (1994).
- [2] *MATLAB, High-Performance Numeric Computation and Visualization Software.* Reference Guide, The MathWorks, Inc. (1992).

Tato práce byla vypracována za finanční podpory Grantové Agentury České Republiky, reg. číslo grantu 201/93/2408.